

### III-35 砂質土の構造とせん断強さについて

大阪市立大学工学部 正員 三笠正人

" " ○高田直俊

" " 太下哲生

#### 1. 目的

土の力学的な性質と、これを支配する要素との関係は次のようになります。

土の力学的な性質 = F( 土の種類、密度、含水比、土の構造の様式、応力状態 )

これらの要素のうち骨組構造の様式を除いたものについては、その力学的な性質との関係がかなりの程度まで明瞭にされています。構造の様式の影響については、粘土に対する応力履歴の影響が研究され、また構造の働きを示す1つの指標として鉄筋比がとりあげられています。ところが砂については土の種類のほかはわざかに向げき比、あるいは相対密度だけが考慮に入れられてはいるにすぎない。たとえば Terzaghi は  $N$  値がかなり大きい相対密度で決まるとして述べてあります。この考え方一般に広く受け入れられており、砂の場合も粘土に比べて乱さない試験を得にくくなるなどの理由から、実験的に構造の影響を調べた例が少ないのである。ところで砂を一定の向げき比に締め固める方法はいろいろあるが、その締め固め方法によって構造の様式の違いが生じ、その結果力学的な性質にも違いの出るところが予想される。そこでわれわれは試験条件を一定にして締め固め方法だけをいく通りに変え、一面せん断試験と小型荷持力試験を行なって砂の力学的な性質に対する構造の影響を調べてみた。

#### 2. 一面せん断試験

試験方法 せん断試験機は「土質試験法」改訂版(1969)による改良型一面せん断試験機で、供試体の大きさは直径 6cm、厚さ 2cm、せん断速度は応力増加速度  $0.25 \sim 0.3 \text{ kg/cm}^2/\text{min}$ 、変位速度  $1.0 \sim 1.2 \text{ mm/min}$  である。試験砂として炉乾燥標準砂を用いた。締め固め方法は次の3通りである。

(1) 突き棒による方法：せん断箱に砂を入れ、せん断箱の上に図-1のようないす直径 5mm の孔を有する円板を砂に密着させて固定し、先を鋸く尖らせた直径 5mm の金属棒で突き固める。----この方法は粒子配列を乱して均一化し、構造を低位化させる。

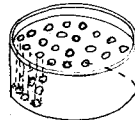


図-1.

(2) 打撃による方法：せん断箱に所定重量の砂をゆるく入れ、その上に直径 6cm、厚さ 2mm の金属円板を置いて、約 80g の金属棒を 2cm の高さから円板上にくり返り落として所定の厚さまで締め固める方法。

(3) 静的圧縮方法：せん断箱に  $\epsilon = 0.95$  の最もゆるい状態に砂を入れ、その上に直径 6cm の円板を置いて所定の厚さまで静的に圧縮する。----この方法は粒子配列を最も乱さない方法で向げきを減少させて構造の低位化は最も少ない。

供試体の向げき比は  $\epsilon = 0.95$  のゆるい状態（この場合は上記の締め固めを要しない）と上記の方法で締め固めた  $\epsilon = 0.85, 0.75, 0.65$  の4通りである。なお  $\epsilon = 0.65$  の向げき比は打撃による方法以外では得られなかつた。

試験結果 初期向げき比  $\epsilon = 0.85, 0.75$  で  $\alpha = 10, 40 \text{ t/cm}^2$  の結果を図-2～5 に示す。各回

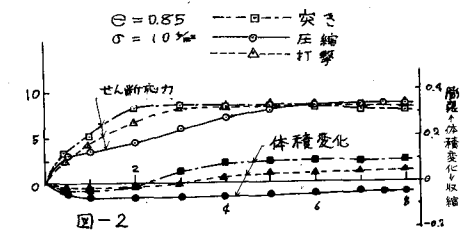


図-2

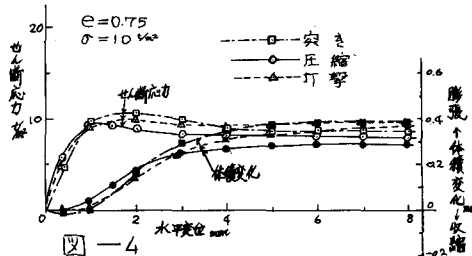


図-4

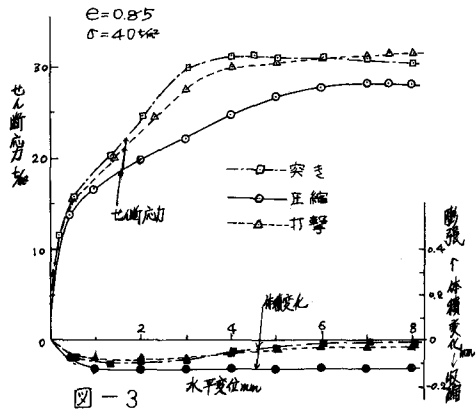


図-3

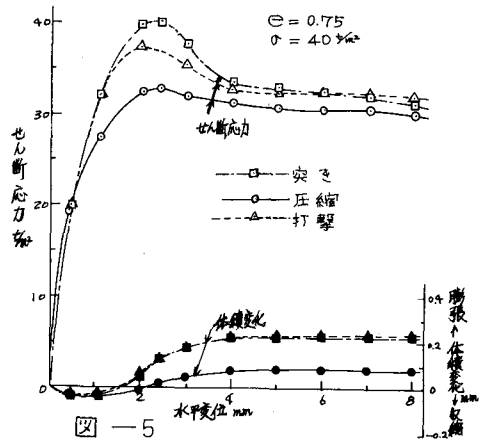


図-5

における締め固め方法による違いがはっきり現われている。まずせん断抵抗は、①それの場合を強いとするの突き棒による方法、②打撃による方法、③静的圧縮による方法の順になつてあり、また図-2、3では締め固め方法によって応力-変位曲線の形に特徴ある違いが見られる。ダイレクトシニヤリよりせん断抵抗の大きさの順に変化している。

図-6は締め固め方法に対する直角ひずみマーティー、せん断直前の剛性比  $E_i$  とせん断強さ  $\tau_f$  との関係を示したものである。水平方向の矢印の始点は初期剛性比  $E_0$  を、矢印の長さは  $E_i$  と  $E_0$  の差を示している。構造の低位なもの（突き棒による方法）ほどこの差は大きく、たかって圧縮後の剛性比  $E_i$  は小さくなっている。さてせん断強さはこのような初期の構造の低位なものほど強くなっている。これは後に示す支持力実験の結果と全く逆であり“構造の高位なものほど強い”という通常に一見反するようであるが、この結果はつまり“一定の有効応力の下では剛性の小さな方が強い”ということにはならない。詳細は省くが、構造の概念とを決めて子細がないのである。

### 3 支持力試験

試験方法 支持力試験は図-1の長さ 31cm、深さ 17cm、幅 7.5cm の鋼製で両側面がガラス張りになった容器を用いて 2 次元的に行なった。載荷板は載荷ロッドに剛結されており、載荷速度は毎分 2mm の沈下制御方式である。

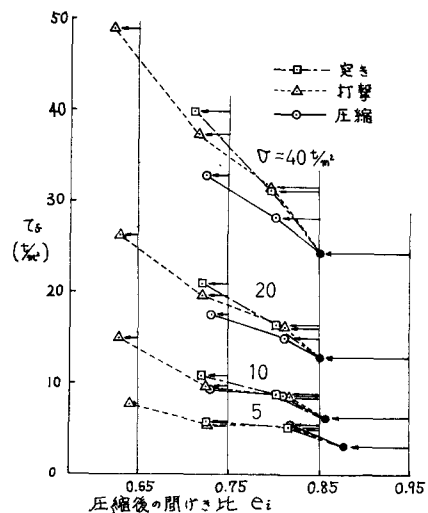


図-6

試料はその標準砂と大阪市谷町1丁目

の洪積層から採取して水洗した物(谷九砂)

が、両者とも乾燥状態で用いた。粒度分布を図-8に示す。

締め固め方法は次の4通りである。

① 突き棒による方法： 図-9のよ

うに容器の上に1cm間隔に直径1.1cmの孔を千鳥にあけた板を置き、先を鋸く尖らせた直徑1cmの棒を孔づつ順に突いて締め固めていき、その後表面をなぐり(この2)で用いる締め固め用の鉄板とランマーで表面をなぐるとさほんか分を締める。ランマーは5cmの高さから1回だけ落下させるものとした。

② 打撃による方法： 容器に所定量の砂を入れ、その上に長さ31cm、幅7.5cm、厚さ1.8cm、重量3.7kgの鉄板を置き、2kgのランマーを15cmの高さから鉄板の上へ落下させ、砂層が所定の厚さにならすまで一撃をえた。

③ 振動締めによる方法： 図-10のように落下高10cmのカムを利用してたわみ装置を用い、砂層の上に2)の方法で用いた鉄板を置いて容器をセットし、所定の砂層厚にならすまで落下させる。

④ クリ返し圧縮による方法： 容器に所定量の砂を入れ、その上に鉄板を置いて圧縮試験機の上から1tonの力を加え、所定の層厚にならすまで載荷、除荷をくり返す。

この実験では向げき比をせん断試験と同様0.95, 0.85, 0.75, 0.65の4通りで行なった。 $\epsilon = 0.95$ の場合には標準砂、谷九砂とも上記の締め固めを要しない。載荷板の中は1cmと3cmである。いずれの砂をクリ返し圧縮の方法ではなく $\epsilon = 0.65$ の向げき比は得られず、標準砂では振動締めによる方法によってこの向げき比は得られたなかった。

試験結果 図-11(a), (b), (c), (d)および図-12(a), (b), (c), (d)に標準砂と谷九砂の向げき比 $\epsilon = 0.85$ , 0.75の場合の荷重-沈下曲線を示す。これらに奥1/4せん断試験と同様に締め固め方法による差がはつきりと出でているが、締め固め方法の影響は先のせん断試験の場合と全く逆になつてあり、圧縮による締め固め方法が一番強く、突き棒による方法が一番弱くなっている。特に突き棒による方法では他の3通りの方法に比較して極端に弱く、かつ荷重-沈下曲線にピークが出ていない。

このような結果は次のように説明できる。先に述べたように、突き棒による締め固めが砂粒子の最も激しい移動を伴なつて低位の構造を与え、逆に圧縮による締め固めは土粒子の移動が少なく、より高位な構造を与える。支持力試験ではせん断試験のような、まず供試体全体に一定の直圧力を加えると「アプロセスはない」。したがつて同じ向げき比でより低位な構造のものではせん断強さは当然小さく、支持力もまた小さくなるのである。

図-13は標準砂に関する4通りの締め固め方法に対する、載荷中立直角マーティーと1/4向げき比と支持力の関係を示したものである。せん断試験の場合と同様に向げき比が小さくなつたがつて、

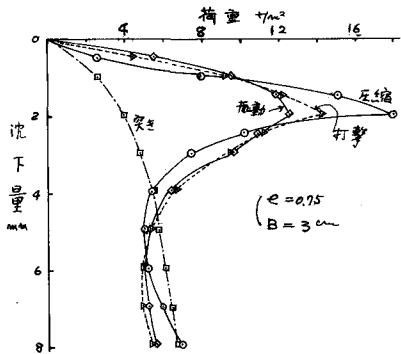


図-11(a) 標準砂

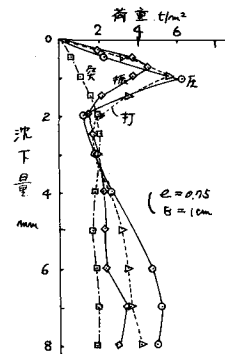


図-11(b) 標準砂

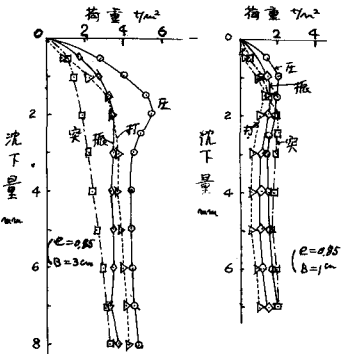


図-11(c) 標準砂

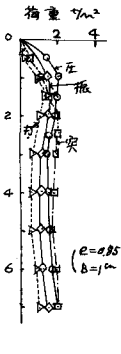


図-11(d) 標準砂

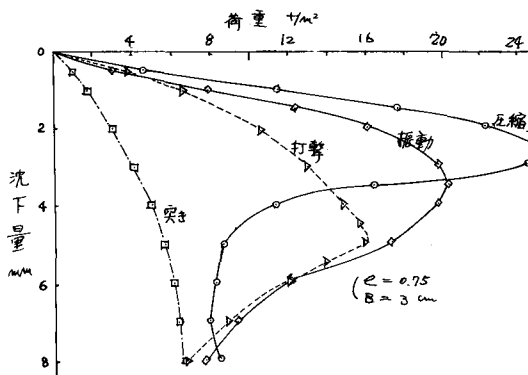


図-12(a) 谷九筋

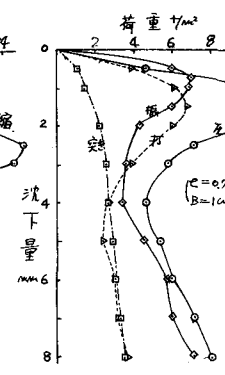


図-12(b) 谷九筋

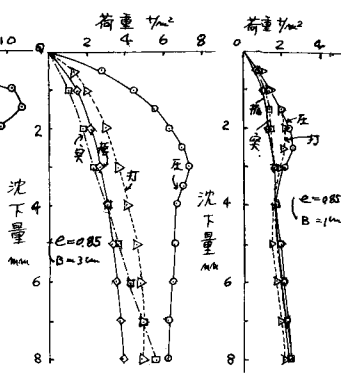


図-12(c) 谷九筋

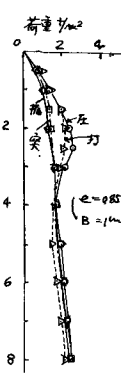


図-12(d) 谷九筋

(め固め方法の影響が大きくなつてく。谷九筋のデータは著しく全般的に同じ傾向が見られる。

#### 4まとめ

締め固め方法の違いによる砂の構造様式の差が、せん断特性と支持力に全く異なる影響を与えるという面白い結果を得た。ひずみモードの説明はへけることができる。左左、このようにな場合によつて逆の傾向を示すといふ点だけを見ても、砂の構造の働きを定量的に実験的問題にさかづくほかなりの困難が予想される。しかしひずみせよ砂にありてその構造の働きを無視できないこと、むしろ相対密度と同等に評価すべきもの(粘土の構造を表す鉛敏比と同様)であることは明らかと言えよう。実用的なら原理的に今後あらゆる種類からとり組んで行かねばならぬ問題であるといえよう。

最後にこの研究に対して山田恭治君(現日本工官)および山本光治君(現神戸市)の協力を得たことに謝意を表します。

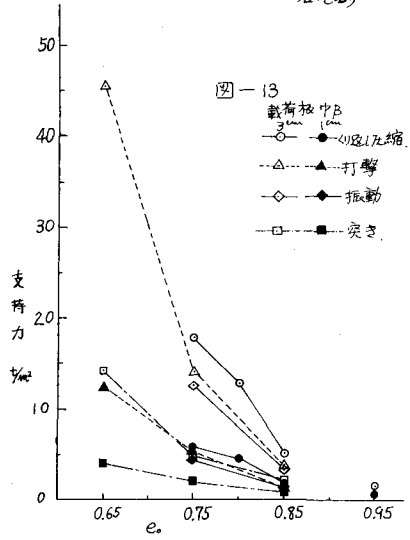


図-13  
載荷板中B  
3cm  
●—● eり返し圧縮  
△—△ 打撃  
◇—◇ 振動  
□—□ 突き